

伊通盆地演化 与油气成藏动力学

侯启军 赵志魁 陈红汉 江 涛 等著



石油工业出版社

伊通盆地演化与油气成藏动力学

侯启军 赵志魁 陈红汉 江 涛 等著

石油工业出版社

内 容 提 要

本书针对具有走滑—伸展双重性质和多期复杂构造活动的伊通盆地，从盆地性质、演化背景、沉积层序、储层发育、烃源岩演化、油气充注历史和油气资源潜力等诸方面开展了全面、系统的研究，运用构造成因解析、层序地层分析、地震储层反演、流体包裹体、原油金刚烷和油气成藏动力学过程数值模拟等多种新技术和新方法，对伊通盆地多源混合、多幕充注、多期成藏和调整改造甚至破坏的复杂油气成藏动力学过程进行了系统而深入的解剖，获得了盆地西北缘断褶带新构造单元确定、构造反转对油气成藏过程的影响，以及油气保存条件成为该盆地油气勘探关键因素等诸多创新认识，并据此认识在盆地多领域勘探取得了重大突破。

本书可供广大石油地质工作者和大专院校石油地质专业师生参考。

图书在版编目 (CIP) 数据

伊通盆地演化与油气成藏动力学/侯启军等著.
北京：石油工业出版社，2009.12
ISBN 978 - 7 - 5021 - 7320 - 3
I. 伊…
II. 侯…
III. 含油气盆地 - 油气藏 - 动力学 - 研究 - 伊通满族自治 - 县
IV. P618. 130. 2

中国版本图书馆 CIP 数据核字 (2009) 第 134490 号

出版发行：石油工业出版社
(北京安定门外安华里 2 区 1 号 100011)
网 址：www.petropub.com.cn
发行部：(010) 64523620
经 销：全国新华书店
印 刷：保定彩虹印刷有限公司

2009 年 12 月第 1 版 2009 年 12 月第 1 次印刷
787 × 1092 毫米 开本：1/16 印张：19
字数：480 千字 印数：1—1000 册

定价：118.00 元
(如出现印装质量问题，我社发行部负责调换)
版权所有，翻印必究

前　　言

目前，世界范围内的油气勘探难度越来越大，勘探对象越来越复杂，因此，探索油气勘探的新理论、新思路、新方法，提高油气勘探成功率，解决油气资源与世界经济发展态势相矛盾的现状已成为石油地质工作的当务之急。

我国东部断陷盆地发育，断陷盆地的强烈分割性及差异性，使得含油气系统发育极不平衡。伊通盆地位于吉林省东部，为新生代断陷盆地，属于郯庐断裂的一部分，呈北北东狭长分布，宽 10~20 千米，长 160 千米，面积近 2200 平方千米。东面是广阔的那丹哈达岭，西面隔大黑山与松辽盆地相邻，盆地石油资源量为 5.43 亿吨，天然气资源量为 1870 亿立方米。该盆地从 1984 年开始地震勘探以来，已在基岩潜山内部、双阳组、永吉组、奢岭组、万昌组、齐家组中获得工业油气流，预示着伊通盆地拥有一定的油气潜力和远景。但由于伊通盆地特殊的大地构造背景，复杂的沉积构造演化条件，使得油气形成和分布十分复杂。

古近纪的右旋走滑伸展作用，使盆地发育了巨厚的烃源岩，但由于盆地狭长，沉积物近源流短，横向变化快，储层敏感性强，为油气勘探增加了较大的难度；新近纪的左旋挤压作用增强了盆地的油气保存条件，有利于油气的运移聚集成藏，使伊通盆地成为一个富集油气的盆地。虽然 92.1% 的预探井在录井过程中见显示，但仅有 29.1% 的探井获工业油气流，经过 20 余年的勘探，资源探明率仅为 5%。为了进一步落实伊通盆地的油气成藏特征和分布规律，盆地演化及成藏动力学过程研究是目前急需研究的关键问题。

油气成藏过程包括油气的生成、运移、聚集以及保存和破坏各个环节，既是石油地质理论的核心问题，又是有效解决油气勘探活动的关键问题。沿着石油地质学的发展轨迹不难发现，油气成藏各个过程的机理一直是石油地质学家孜孜探索的主旋律。2007 年第六届全国油气运移学术研讨会上，罗晓容等系统地回顾了我国油气成藏动力学研究现状，并对油气成藏动力学概念重新进行了厘定——成藏动力学是对油气成藏过程和机理进行定量研究的思想和方法。成藏动力学研究的前提是对沉积盆地演化的地质背景充分了解；对盆地石油地质条件的清楚认识；对不同区块主要的油气成藏期的准确划分。成藏动力学研究应该以一期油气成藏过程中从油气源到油气藏的统一动力环境系统为单元，定量研究油气生成、运移、聚集的机理、控制因素和动力学过程。

然而，油气藏形成过程是漫长而复杂的，影响因素众多，研究难度大，致使油气成藏机理仍为石油地质研究中最为薄弱的环节，许多油气生成、运移、聚集和保存中的重大理论和实际问题，目前仍停留在推理阶段，严重地影响了油气资源分布规律和预测油气藏预测的准确性，制约着许多盆地（区带）的油气勘探和开发过程。

本书以具有走滑—伸展—挤压复杂的伊通盆地演化背景为切入点，以盆地构造样式、沉积充填、层序结构和储层评价为基础，以油气成藏动力学过程研究为核心，深入解剖这种复杂成藏过程的油气聚集规律和保存条件，紧密结合生产实践，指出了伊通盆地有利勘探区带和勘探远景。本书主要体现以下几方面的认识：

(1) 在地球动力背景、深部地质作用、盆缘和盆内构造特征与变形历史分析的基础上，确定伊通盆地类型为走滑—伸展盆地，认为主成盆期为右行走滑背景下斜向伸展 + 热隆升，

晚期构造反转为左行走滑背景下基底隆升 + 侧向挤压脉冲式演化过程，这一认识的提出对评价断层的封闭性、研究走滑作用对沟谷控制扇体的影响具有重要意义。

(2) 在构造解释的基础上，结合盆地动力学研究认识，确定西北缘断褶带具走滑挤压性质，明确划分出西北缘断褶带；该断褶带的提出不仅理论上对走滑—伸展盆地内构造发育特征、样式与分布等方面有重要的理论意义，而且在油气勘探区带选择方面具有重要的现实价值。

(3) 在层序地层学、沉积学、地震沉积学和储层沉积学理论指导下，采用多项新技术和新方法，基于钻井、测井、地震剖面和分析测试资料综合研究，建立了层序地层格架，完成了全盆地的沉积相研究工作，提出了多种沉积模式，系统分析了储层特征，并且对有利储集相带进行了预测评价。

(4) 建立了成藏模式，分析了油气藏成藏过程及规律，同时也揭示了油气藏遭受破坏的主因。研究成果表明，伊通盆地多幕充注，多期成藏，岔路河断陷发育四幕三期油气成藏；鹿乡断陷发育五幕两期油气成藏；莫里青断陷发育三幕两期油成藏，而齐家末期反转抬升时期是整个盆地的主要成藏期。

(5) 从构造控藏、规模砂体控藏、隐蔽油气藏发育特点以及油气藏保存条件等若干方面综合评价，提出下一步有利勘探区带。

本书由侯启军、赵志魁、陈红汉、江涛等确定编写提纲，由吉林油田勘探开发研究院和中国地质大学（武汉）两个单位的研究人员集体分工完成，全书共分五章，各章的主要编写人：第一章由侯启军、孙家振执笔，第二章由赵志魁、唐大卿执笔，第三章由宋立忠、周江羽执笔，第四章由陈红汉、苗洪波执笔，第五章由江涛、何生执笔。邓守伟、李本才、李楠、李玉彤、丁治、叶加仁、赵彦超、王家豪、邱玉超、石万忠、周锋德、丰勇等同志也参加了部分章节的编写工作。

全书由侯启军、赵志魁统稿和定稿。本书在写作过程中得到了吉林油田勘探开发研究院领导和科技人员的关心、指导及大力帮助，在此特表感谢。

由于作者掌握资料有限，书中定有不足之处，敬请读者批评指正。

目 录

第一章 伊通盆地成盆背景及构造演化	(1)
第一节 区域地质特征	(1)
一、盆地构造位置	(1)
二、地层划分与对比	(2)
三、地壳结构与基底性质	(3)
四、盆地沉积充填序列	(6)
第二节 盆地形成的地球动力背景	(8)
一、西太平洋板块运动方式及对盆地的影响	(8)
二、郯庐断裂带运动方式与盆地沉降	(10)
三、周缘地质特征	(11)
四、深部地质特征	(14)
第三节 盆地类型与演化过程分析	(18)
一、盆地类型与成盆模式	(18)
二、构造热体制与沉降史	(23)
三、演化过程	(27)
第二章 伊通盆地主要构造区带特征及演化	(32)
第一节 盆地次级构造单元划分	(32)
一、构造单元划分	(32)
二、主要构造带特征及演化	(36)
第二节 盆地断裂构造特征分析	(47)
一、断裂特征概述及分类	(48)
二、边界断裂特征	(51)
三、二级断裂特征	(53)
四、盆内次级断裂特征	(59)
第三节 盆地反转构造特征分析	(60)
一、反转构造理论概述	(60)
二、伊通盆地反转构造特征	(61)
三、反转构造动力学机制	(64)
第四节 构造对油气成藏的控制作用	(66)
一、构造对沉积的控制作用分析	(66)

二、构造对油气成藏的控制作用分析	(69)
第三章 伊通盆地沉积充填过程分析	(71)
第一节 层序地层学分析	(71)
一、钻井层序地层学解释	(71)
二、地震层序地层学解释	(80)
三、盆缘背景与层序结构样式	(87)
第二节 沉积相研究	(93)
一、单井沉积相分析	(93)
二、连井沉积相剖面分析	(105)
三、基于层序—微相—地震属性的精细砂体刻画	(106)
四、沉积相平面展布及规模砂体预测	(111)
五、沉积演化与沉积模式	(116)
第三节 伊通盆地储层特征	(119)
一、储层基本特征	(119)
二、储层含油性与沉积微相关系	(121)
三、储层成岩作用及物性影响因素	(124)
四、有利储集相带评价与预测	(131)
第四章 伊通盆地油气成藏动力学	(133)
第一节 油气充注幕次划分与成藏时期确定	(133)
一、烃类包裹体荧光颜色充注幕次划分	(135)
二、油包裹体成熟度充注幕次划分	(138)
三、流体包裹体均一温度充注幕次划分	(139)
四、油气成藏期次划分和成藏时期确定	(150)
第二节 温—压场特征及演化	(154)
一、流体动力场特征及演化	(154)
二、油气成藏过程数值模拟	(168)
第三节 油气成藏动力学过程分析	(176)
一、“四性”关系分析	(176)
二、典型油气藏解剖	(202)
三、油气输导体系与充注路径追踪	(211)
四、油气成藏动力学过程与成藏模式	(216)
第五章 伊通盆地油气勘探潜力评价	(227)
第一节 有机地球化学特征	(227)
一、烃源岩地球化学特征	(227)

二、原油地球化学特征	(247)
三、油源对比分析	(252)
四、天然气成因分析	(258)
五、结论与认识	(261)
第二节 油气资源量评价	(262)
一、资源量评价方法	(262)
二、资源量评价参数	(263)
三、资源量评价结果	(266)
第三节 油气成藏主控因素分析	(268)
一、生物改造对油气藏的影响	(268)
二、双侧向断层供烃的成藏机理	(269)
三、单侧向断层供烃的成藏机理	(269)
第四节 勘探实践	(270)
一、西北缘断褶带	(270)
二、基岩潜山	(273)
三、构造围斜带	(278)
参考文献	(284)

第一章 伊通盆地成盆背景及构造演化

第一节 区域地质特征

一、盆地构造位置

伊通盆地沿北东向纵贯吉林省的中部，位于长春和吉林两地之间，是吉林省境内的古近系—新近系盆地，呈北东 $45^{\circ} \sim 55^{\circ}$ 方向狭长展布，由南至北隶属于梨树、伊通、双阳、永吉等县。

伊通盆地构造位置位于郯庐断裂带北段西半支依兰—伊通断裂带内，在全球构造上属于东北亚走滑断裂体系的最西支。在依兰—伊通断裂带内自南向北发育有叶赫、伊通、舒兰等一系列呈北东向展布的狭长形新生代沉积盆地，其中，伊通盆地位于断裂带中段，规模相对较大。盆地南面以叶赫断隆为界，北抵第二松花江断裂与舒兰地堑分界；西北面紧靠大黑山断隆，东南面紧邻那丹哈达岭断隆，属于受边界走滑断裂控制夹持在两大断隆之间的狭长地堑。盆地南北长达 300km，东西宽 5~20km 不等，面积近 2400km^2 （图 1-1）。

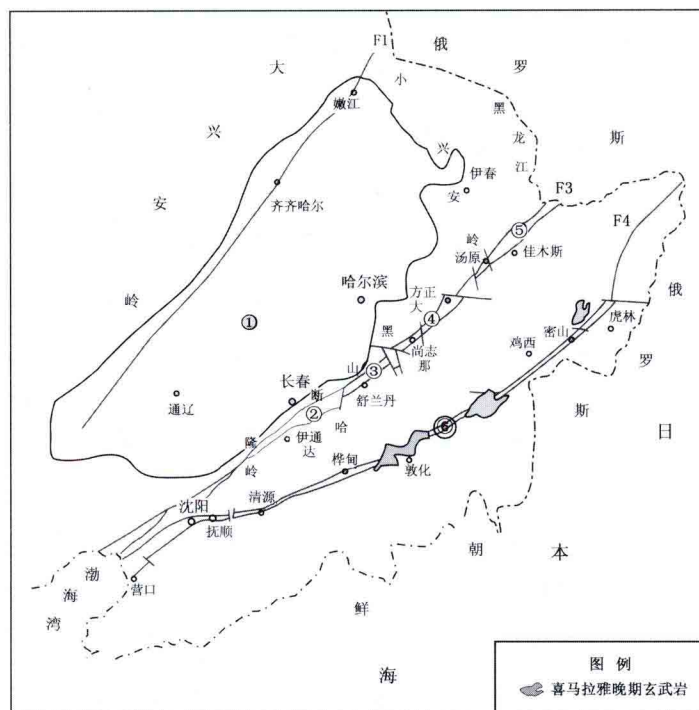


图 1-1 伊通盆地构造位置图

- ①松辽盆地；②伊通盆地；③舒兰断堑；④方正断堑；⑤汤原断堑；⑥敦密断堑；
F1—嫩江断裂带；F2—依兰—伊通断裂带；F3—敦化—密山断裂带

二、地层划分与对比

1. 地层划分

伊通盆地地表被第四系大面积覆盖，仅在盆地边缘见到零星分布的新近系、白垩系和侏罗系露头。据钻井、地震资料，盆地基底岩系为海西期、燕山期花岗岩，年龄为 67 ~ 152 Ma，局部为晚古生代变质岩。盆地内主要为古近系，地层厚度为 2000 ~ 6000 m；侏罗系—白垩系在岔路河断陷内零星分布。古近系主要发育双阳组、奢岭组、永吉组、万昌组、齐家组（表 1-1）。

前古近系零星分布侏罗系—白垩系紫红色砂岩，与基底和上覆古近系呈不整合接触。

表 1-1 伊通盆地地层划分表

地 层			地震反射界面	接触关系		
古 近 系	渐 新 统	第四系	Q			
		新近系	岔路河组	Nc		
		齐家组	二	T_n		
			$E_3 q^2$			
		万昌组	一	$E_3 q^1$		
			三	$E_3 w^3$		
			二	$E_3 w^2$		
			一	$E_3 w^1$		
			四	$E_2 y^4$		
		永吉组	三	$E_2 y^3$		
			二	$E_2 y^2$		
			一	$E_2 y^1$		
			二	$E_2 sh^2$		
		奢岭组	一	$E_2 sh^1$		
			三	$E_2 s^3$		
			二	$E_2 s^2$		
		双阳组	一	$E_2 s^1$		
前 古 近 系			T_g	角度不整合		
基 岩						

(1) 双阳组 ($E_2 s$)

全区分布，以莫里青断陷最为发育，鹿乡、岔路河断陷次之，厚度为 500 ~ 800 m，岩性为黑—灰绿色泥岩、粉砂岩、细砂—砂砾岩互层，底部为砾岩。纵向上分为 3 个岩性段，与下伏前古近系呈角度不整合接触。

(2) 奢岭组 ($E_2 sh$)

全区分布，与双阳组为整合接触的过渡渐变关系，莫里青一大南凹陷继承性发育，波泥河—太平凹陷较发育，新安堡凹陷次之。厚度变化较大。厚度一般为 400 ~ 700 m，岩性为灰黑色泥岩、粉砂岩和细—中砂岩。纵向上划分为两个岩性段，万昌构造以南缺失奢二段，与下伏双阳组呈局部不整合接触。

(3) 永吉组 (E_2y)

分布范围广，厚度横向变化不大，钻井揭示厚度为 800 ~ 1000m，盆地北缘沿西北断裂带相对较发育，波泥河—太平凹陷最厚达 1200m。岩性主要为深灰色、灰黑色泥岩、粉砂岩和细砂岩互层，万昌构造以南缺失永一段，在盆地南缘与下伏地层呈局部不整合接触。

(4) 万昌组 (E_3w)

该组地层全区分布，以岔路河断陷发育最全，厚度为 800 ~ 1200m。岩性为灰色、灰绿色泥岩与灰白色、杂色砂岩、砂砾岩互层，与下伏永吉组呈角度不整合接触。

(5) 齐家组 (E_3q)

主要分布于岔路河断陷，厚 400 ~ 600m，呈西北缘厚、东南缘减薄的趋势。岩性为灰绿色、浅灰色泥岩夹砂岩条带。纵向上可分为两个岩性段，与下伏地层为局部不整合接触。

(6) 岔路河组 (Nc)

分布在岔路河断陷，厚 300 ~ 400m，呈西北厚、东南减薄的趋势，岩性为灰绿色，浅灰色泥质岩与杂色砂砾岩互层，与下伏齐家组为角度不整合接触。

(7) 第四系 (Q)

地层厚 20 ~ 40 m，岩性为黑色腐殖土、黄色砂质黏土、杂色砂砾层，与下伏地层岔路河组为角度不整合接触。

2. 生物地层学特征

(1) 微体化石

伊通盆地微体浮游藻类化石较为丰富，可以划分为 9 个组合带（何承全等，1999）。尽管化石的种属与渤海湾盆地不尽相同，但是时代基本可以对比。始新世中晚期（双阳组沉积早期），在伊通盆地双阳组下部大量出现沟鞭藻组合 *Bohaidina* – *Parabohaidina* 和 *Zhongyuandinum* – *Achromosphaera* – *Bohaidina*（中原藻—无脊球藻—渤海藻组合）；层位上可能比渤海湾盆地低，*Bohaidina* – *Parabohaidina*（渤海藻属—副渤海藻属组合）出现在渤海湾盆地沙河街组三段，时代为始新世中晚期。

(2) 孢粉组合

伊通盆地与渤海湾盆地有较好对应关系。始新世中晚期，在渤海湾盆地的孔店组一段和沙河街组四段，伊通盆地双阳组三段和奢岭组一段，均出现 *Ephedripites*（麻黄粉） – *Ulmipollenites*（榆粉） – *Schizaeoisporites*（希指蕨孢）组合；渤海湾盆地沙河街组二段和三段，伊通盆地永吉组，均出现 *Taxodiaceapollenites*（杉粉） – *Quercoidites*（栎粉） – *Ephedripites*（麻黄粉） – *Tricolpites*（扁三沟粉） – *Ulmipollenites*（榆粉）组合；其时代应该相当；渤海湾盆地沙河街组一段，伊通盆地万昌组一段，均出现 *Quercoidites*（栎粉）（图 1–2）。

可以认为，伊通盆地的地层层序、微体古生物和孢粉组合特点基本可以与渤海湾盆地对比。双阳组、奢岭组、永吉组属于始新世中晚期，与渤海湾盆地的孔店组一段和沙河街组二、三、四段相当；万昌组、齐家组属于渐新统，与渤海湾盆地的沙河街组一段、东营组一、二、三段相当。

三、地壳结构与基底性质

1. 地壳结构

伊通盆地构造上处在松辽盆地与东部山系之间的过渡部位，反映地壳厚度的莫霍面深度也介于其间，为 33 ~ 34km，向西至松辽盆地中央坳陷带减薄为 29 ~ 31km，向东至张广才岭

地层系统			渤海湾盆地					伊通盆地						
界	系	统	组	段	微体浮游藻类化石	孢粉组合		组	段	微体浮游藻类化石	孢粉组合			
新近系	新统	上新统	明化镇组	上段		上部: <i>Persicarioipollis</i> — <i>Chenopodipollis</i> — <i>Magnastriatites</i> 下部: <i>Ulmipollenites</i> — <i>Herbs</i>		岔路河组	Concentricystes sp. (环纹藻)					
						<i>Magnastriatites</i> — <i>Caryapollenites</i> — <i>Liquidambar pollenites</i>								
		中新统	馆陶组	下段										
						上部: <i>Betulaceae</i> 中部: <i>Sporotropoidites minor</i> 下部: <i>Pinaceae</i>								
	渐新统	东营组	一			<i>Juglandaceae</i> — <i>Tiliapollenites indubitabilis</i>		齐家组	二 Luxadinium— <i>Pediastrum</i> (曙藻—短棘盘星藻)					
					<i>Ulmipollenites undulosus</i> — <i>Piceapollenites</i> — <i>Tsugaepollenites</i>									
							万昌组	三 <i>Parabohaidina</i> — <i>Laciniadnum</i> (副渤海藻—门沟藻组合)						
		沙河街组	二	二		<i>Quercoidites</i> — <i>Meliaceoidites</i>			四 <i>Kallosphaeridium</i> — <i>Pediastrum</i> (美球藻—短棘盘星藻组合)					
						<i>Ephedripites</i> — <i>Rutaceopollenites</i>			五 <i>Multiplicisphaeridium</i> — <i>Schizostria</i> (多叉球藻—对裂囊藻组合)					
古近系	始新统	生界	一	一		<i>Taxodiacapollenites elongatus</i> — <i>Alnopollenites</i> — <i>Polyphylloacarpites</i>		永吉组	六 <i>Nenjiangella</i> — <i>Fromea</i> (粒面嫩江藻—壶形弗罗姆藻组合)					
						<i>Bohaidina</i> — <i>Parabohaidina</i> (渤海藻属—副渤海藻属组合)			七 <i>Osmundacerasites</i> — <i>Osmundacerasites</i> (单孢管束松粉)					
						<i>Quercoidites microhenrichi</i> — <i>Ulmipollenites minor</i>			八 <i>Osmanites</i> — <i>Taxodiacapollenites</i> — <i>Ephedripites</i> — <i>Ulmipollenites</i> — <i>Quercoidites</i> — <i>Ulmipollenites</i> (单孢管束松粉—波形孢粉—小享氏栎粉)					
						<i>Deflandrea</i> (德弗兰藻组合)			九 <i>Taxodiacapollenites</i> — <i>Quercoidites</i>					
						<i>Ephedripites</i> — <i>Taxodiacapollenites</i> — <i>Ulmipollenites tricostatus</i>			十 <i>Zhangyuanidium</i> — <i>Achnophoridium</i> — <i>Tiliapollenites</i> (中孢藻—无脊球藻—渤海藻组合)					
		古界	孔店组	二		<i>Ulmipollenites minor</i> — <i>Rhoiptes</i> — <i>Schizaceoipollenites</i>		奢岭组	十一 <i>Ancistrisporites</i> — <i>Ingermanipollenites</i> — <i>Ephedripites</i> (黄粉) <i>Ulmipollenites</i> (榆粉)					
						<i>Paraalniconipollenites</i> — <i>Betulapollenites</i> — <i>plicoides</i> — <i>Aquilaipollenites</i> (副桤木粉—拟桦粉)			十二 <i>Taxodiacapollenites</i> — <i>Quercoidites</i>					
									十三 <i>Leptaphoridium</i> — <i>Leptaphoridium</i> — <i>Pediastrum</i> (带藻—透明光明球藻—短棘盘星藻组合)					
									十四 <i>Abietinocerasidites</i> — <i>Taxodiacapollenites</i> — <i>Quercoidites</i> — <i>Ulmipollenites</i> (小享氏栎粉—波斯杉粉)					
									十五 <i>Bohaidina</i> — <i>Parabohaidina</i> (渤海藻属—副渤海藻属组合)					
中生界白垩系								前古近系						
资料来源		姚益明等, 1994						何承全等, 1999; 周江羽等, 2007						

图 1-2 伊通盆地与渤海湾盆地生物地层对比图

增厚到 35~37km, 盆地地壳厚度相对稳定(图 1-3)。值得注意的是, 本区火山活动频繁, 火山口主要沿断裂带喷发, 研究表明深部熔岩物质来源深度在 50~100km, 反映盆地岩石圈减薄不明显, 并有逐渐增厚的趋势。

2. 基底性质

地面航磁资料显示盆地两侧大面积发育的磁性花岗岩岩体在时空上具有良好的对应关系, 构造界限明晰(图 1-4), 反映盆地形成前基本为一枕状侵入岩体。

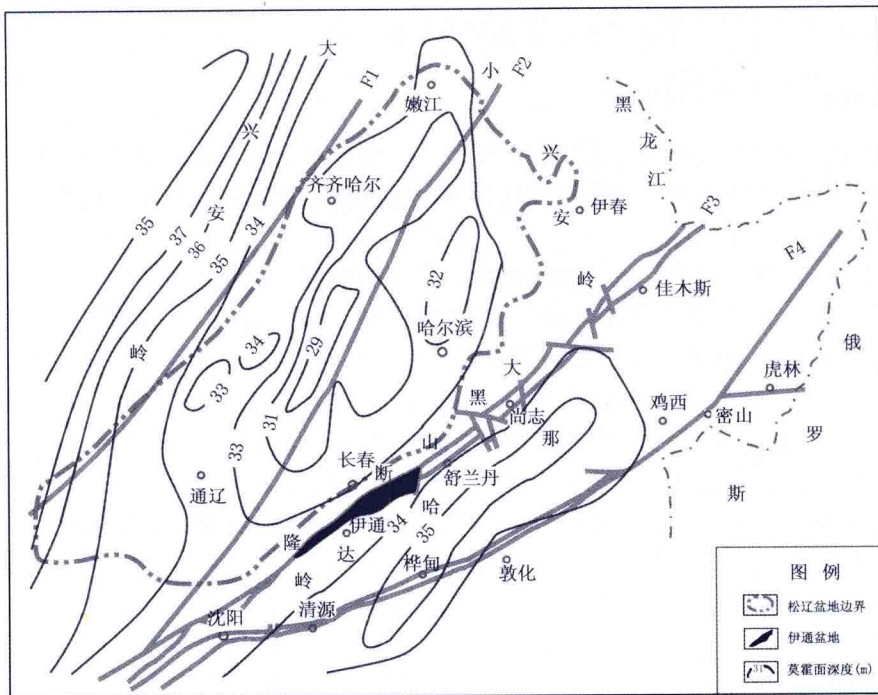


图 1-3 伊通盆地及其周缘莫霍面等深图

F1—嫩江壳断裂；F2—孙吴一双辽壳断裂；F3—依兰—伊通岩石圈断裂；F4—敦化—密山超壳断裂

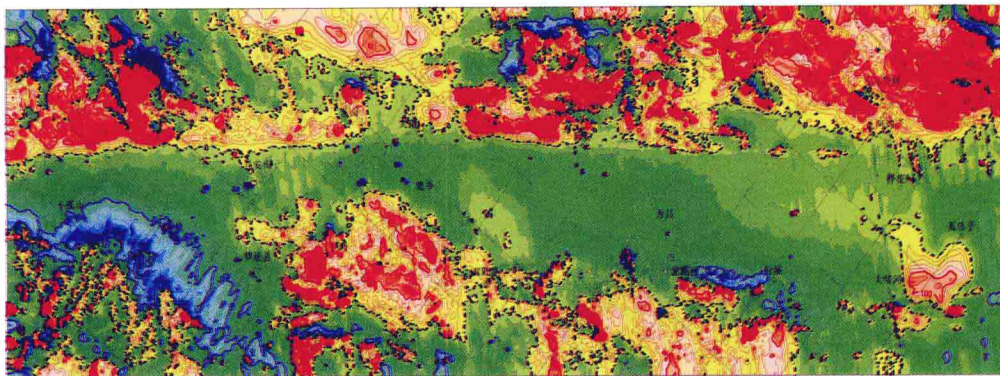


图 1-4 伊通盆地 1:5 万航磁图（据国土资源部北京航遥中心）

伊通盆地及其周缘地区岩浆活动强烈、规模大，多呈岩基或岩株产出，集中分布在大黑山和那丹哈达岭以东地区。岩浆侵入期次多，主要有志留纪、二叠纪和侏罗纪 3 次侵入，以黑云母斜长花岗岩和碱长花岗岩为主。由此可见，伊通盆地是在早期侵入的花岗岩体为主体的两侧刚性地块，即大黑山与那丹哈达岭限制的基底与构造背景条件下，新生代深部熔岩活动引发的拱张作用和刚性块体间位移产生的斜向拉张共同作用下产生、发展、形成的。

盆地内部钻井和地震揭示，盆地基底主要由花岗岩类构成，占基底岩性 80% 以上，岩石类型为黑云母斜长花岗岩、碱长花岗岩和花岗片麻岩；其次为奥陶系、志留系和二叠系变质岩系，约占基底岩性 18%，岩石类型分别为结晶灰岩、板岩、片理化酸性熔岩和砂泥岩，

大部分分布在盆地两端小孤山和孤店斜坡上，沿西北断裂带也有零星分布；在盆地内分别在莫里青、五星和万昌构造等地区基底钻遇凝灰岩和玄武岩，分布局限。

四、盆地沉积充填序列

断陷盆地一般具有近物源、沉积快、厚度大、相带窄、沉积体系规模小等特点。伊通盆地东北向狭长、西北向很窄，物源来自西北和东南两侧的隆起区，所以近物源、分选差、相带窄的沉积特征更为突出。

伊通盆地沉积环境极不稳定，物源条件复杂（剥蚀量、水动力条件变化大），砂体可以快速、短暂、突发性地进入湖泊水体（近岸冲积扇、扇三角洲、三角洲前缘薄层席状砂体），不一定形成河口坝和水下分流河道沉积；可能是扇端席状砂体或辫状河道前缘席状砂体直接进入湖泊形成的。从双阳组至齐家组，其沉积中心有逐渐从西南向东北迁移的趋势。双阳组在总体上形成南深北浅的局面，而齐家组则形成南高北低的地势。

研究表明，盆地内发育6种沉积体系，即冲积扇沉积体系、扇三角洲体系、辫状河三角洲体系、湖泊体系、重力流体系和近岸水下扇体系，不同地质时期，沉积体系空间配置具有明显差异性和阶段性。剖面上、垂向上相变明显，往往是突变关系，表现为沉积体系和沉积相发育的不完整和不连续，常见前扇三角洲和三角洲前缘组合，往往缺乏形成扇三角洲或三角洲平原相，直接被湖泊泥岩覆盖（图1-5）。

伊通盆地存在两大物源体系，即东南缘和西北缘，并均以点源为主。盆缘物源体系发育具有明显的不对称性。双一段沉积时，主要来自东部昌30井—星23井—星25井一线附近；双二段沉积时，东部物源明显加强，形成较大规模的扇三角洲—辫状河道沉积，西部奢岭地区出现新的物源区，造成了较大规模的星106井—星27井一线的辫状河道—湖泊三角洲体系沉积。双三段沉积时，东部和西部物源区仍然存在，但剥蚀速率明显减少。

奢一段沉积时，东部物源区再次强烈剥蚀，形成大范围的扇三角洲—水下扇沉积，西部物源区未见大规模剥蚀沉积；永二段沉积时，东部物源区剥蚀强度明显减弱；永三段沉积时，西部物源区再次活动；永四段沉积时，东部物源区仍然处于剥蚀状态，西部物源区可能未见剥蚀；万昌组沉积时期，西北物源补给则明显增强，甚至出现两个物源体系的砂体垂向叠置，其汇合点大致位于星2井、万参1井和昌8井一线。因此，研究区的主要物源区在东部，处于长期隆升剥蚀状态，在双二段和奢一段存在两次较大规模隆升剥蚀。西部物源区只在双二段、双三段、永三段存在明显的剥蚀状态。

沉积体系展布的空间配置和分带性明显受盆缘断裂控制。扇三角洲和冲积扇沉积体系广泛分布于盆缘断裂两侧，近岸水下扇沉积体系主要分布于奢岭组和永吉组的西北盆缘断裂两侧，在2号断层下降盘的奢岭组和永吉组中出现了深水重力流沉积区。

沉积体系展布与水进、水退亦密切相关。水体进退与扇三角洲的进积与退积呈互为消长关系。从盆缘至盆地中央，依次出现扇三角洲或近岸水下扇至湖泊沉积体系。双阳组沉积时期盆地形成孤立的、范围较小的深湖沉积区；奢岭组沉积时期和永吉组沉积时期为盆地最大水进期，形成广泛的深湖沉积区，且不同凹陷的深湖区相互连通，扇三角洲发育规模较小；万昌组沉积时期为盆地最大水退期，形成滨浅湖沉积区，扇三角洲体系明显向盆地中央延伸。

扇三角洲的发育与古隆起密切相关，在莫里青地区和波泥河—太平凹陷南北两侧物源位置随时期而变化，但在五星构造带和万昌隆起带自双阳组至万昌组始终是扇三角洲发育的地带；扇三角洲前缘单个亚相砂体层序往往发育很薄，厚6~10m，垂向上可能频繁重复出现。

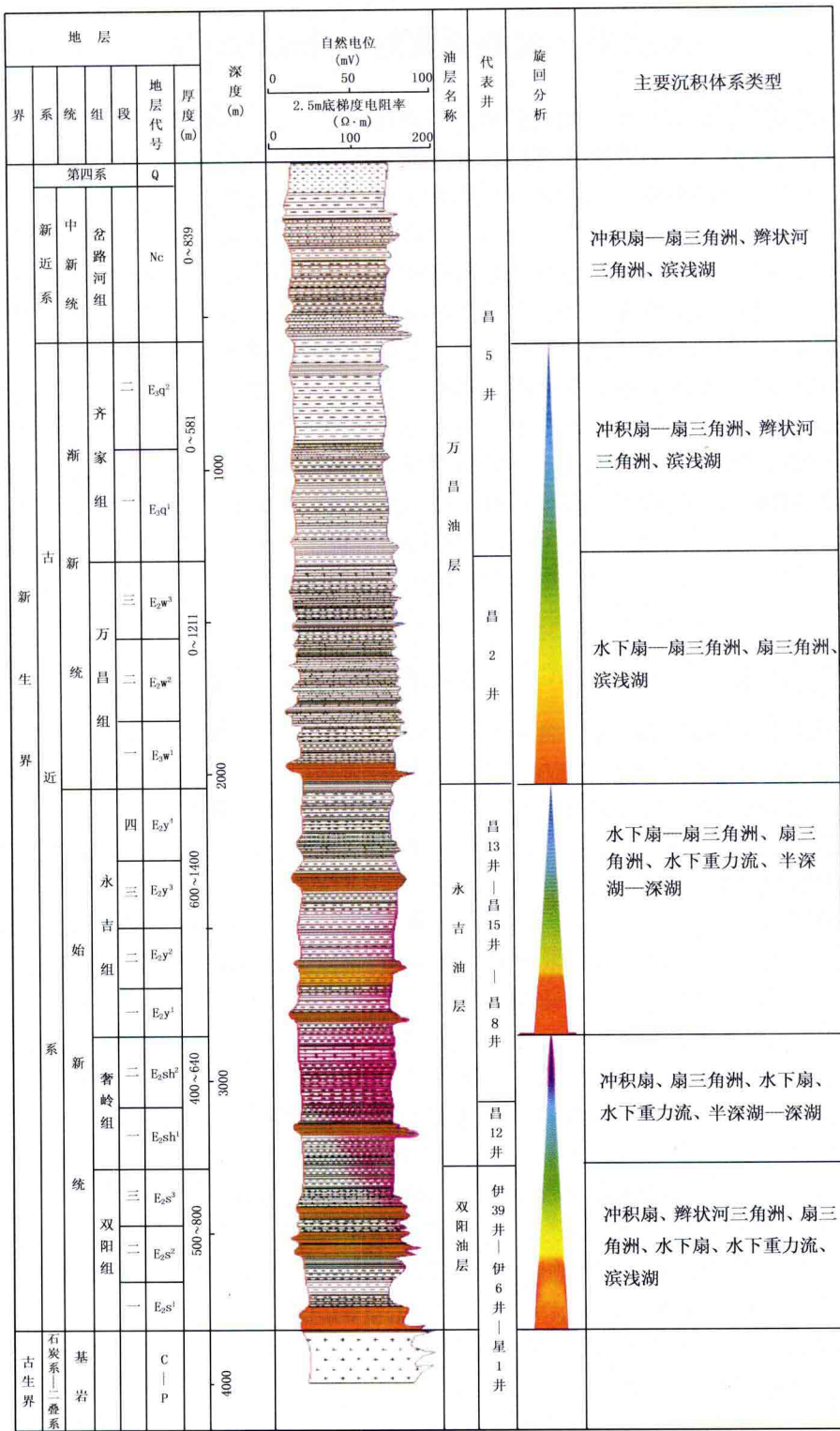


图 1-5 伊通盆地充填序列

第二节 盆地形成的地球动力背景

现代构造地质学研究表明，盆地的形成与演化过程并不是孤立发展的，其在时间序列和空间构架上，盆地沉降与深部地质作用、盆地周缘造山隆起之间具有协调性和耦合性，存在密切的时空关系和成因联系。地球动力学研究证实，不同的构造域动力机制和变形特征各不相同；同一构造域受统一地球动力的控制，其构造和变形特征基本相同，不同地球动力背景条件下形成的盆地，在盆地类型与性质、构造样式与展布特征以及演化历史等方面都存在很大的差异性。一般来说，在张性构造环境下区域上处在拉张应力场作用下，接受变形的中上地壳构造层及其沉积层主要以伸展作用为主，形成一系列规模大小不等的断陷，以及以正断层为主的基底与表层断裂体系，如我国东部中—新生代形成的松辽、渤海湾、江汉等盆地；相反，在压性构造环境下区域上处在挤压应力场，接受变形的构造层主要以缩短作用为主，形成一系列规模大小不等的挠曲坳陷（陆内前陆盆地或山间盆地），以及以逆冲断层为主的基底与表层断裂体系，如我国西部中—新生代形成的塔西南坳陷、吐鲁番坳陷、柴西南坳陷等沉降区。但是，在与走滑作用有关的张扭性构造环境下区域上处在伸展剪切应力场，接受变形的构造层变形复杂，既有伸展作用也有挤压与缩短作用，既发育正断层系也发育逆或逆冲断层系，如发育在郯庐断裂带内的一系列狭长状中—新生代盆地或裂陷。

一、西太平洋板块运动方式及对盆地的影响

伊通盆地位于中国东部大陆边缘活动带、长白山火山弧后地区郯庐断裂带内，毫无疑问，西太平洋板块俯冲强度与运动方式是影响我国东部新生代盆地形成最为重大的地球动力，很显然，伊通盆地形成与发展主要受其控制与制约，其板块运动方式不仅仅改变盆地深部地质作用过程。由于中国大陆古生代以来经过多期构造拼合，现今的中朝地块是在多期构造拼合过程中由许多小陆块组成的，陆块间构造稳定性差，其间存在构造弱化带和深大断裂，如郯庐断裂，使岩石强度降低，在板块俯冲和深部地质作用下改变中国东部大陆内各块体运动方式。同时，由于应力作用的差异性和不均衡性使拼合的陆块易于支解并产生滑移，如盆地两侧大黑山地块和那丹哈达岭地块在发生支解与滑移过程中，使得郯庐断裂带走滑方式发生改变，并制约伊通盆地产生与发展过程。

关于西太平洋板块的运动方式国外已做过深入的研究，认识基本统一，其中最具代表性研究是 Engebretson 等（1985）以夏威夷至皇后山火山岛链年代变化明确地刻画了西太平洋板块自新生代以来的运动轨迹（图 1-6）。即夏威夷火山岛链是太平洋板块在横向移动和俯冲过程中，处在热点或地幔柱深部熔岩在不同时期喷发的具体响应，根据岛弧形成的年龄测定，可以确定太平洋板块向欧亚大陆移动的速率和俯冲方向。从图 1-6 中可以看出，65—42 Ma 火山岛链在时序上从老到新呈北北西（NNW）向展布，反映太平洋板块运动方向为北北西；从 42 Ma 开始太平洋板块运动方向发生改变，并一直保持北西西（NWW）向。

古新世以来，随着太平洋板块俯冲方向发生改变，中国东部大陆边缘活动带在中生代北北西斜向俯冲（Izanagi）左旋剪切而产生的北北东向郯庐断裂带（朱光等，2001）的基础上，由挤压为主转化为拉张为主的演化阶段，俯冲于欧亚板块之下的洋壳与深部地幔物质在热拱张作用下使岩石圈上拱，并拉张变薄，在上部地壳产生裂陷。这一伸展过程对中国东部大陆边缘的影响在空间上具明显的差异性，表现为南部强北部弱、东部沿海强西部陆内弱的

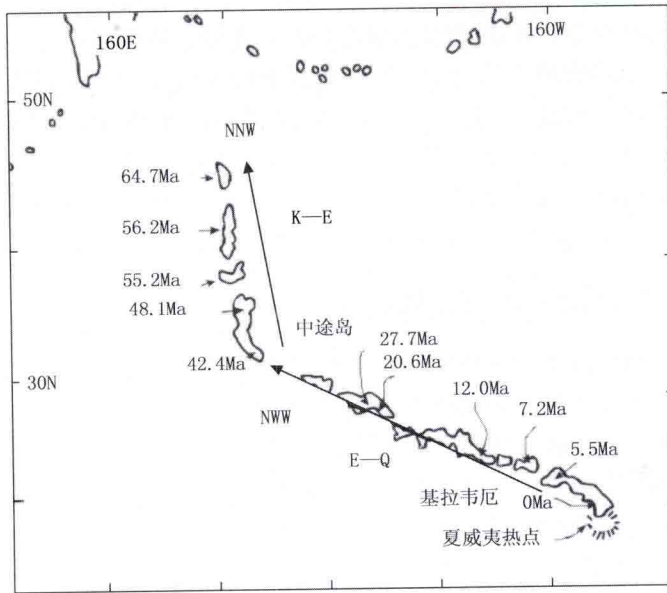


图 1-6 太平洋板块向欧亚板块俯冲方向示意图（据 Engebretson 等，1985）

特点。如与太平洋板块俯冲前锋对应的渤海湾盆地伸展作用最强，表现为明显的岩石圈减薄，盆地沉降与地幔上拱呈镜像倒映关系，向北至下辽河地幔上拱作用逐渐减弱（图 1-7）（张庆龙等，2005），至伊通、舒兰盆地地幔上拱作用相对更弱，岩石圈厚度无明显变化（图 1-3）。与之相对应，东部日本海伸展作用强，自古新世开始逐渐与中国大陆分离，直到上新世确定现今格局（水谷等，1989；）向西大陆内发育的敦密盆地、伊通盆地伸展作用减弱。

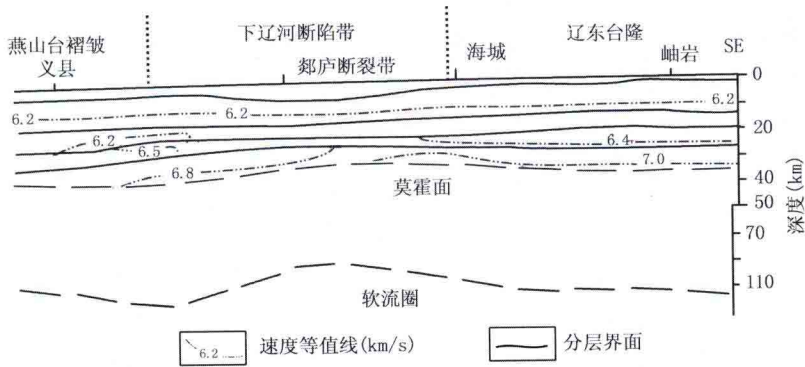


图 1-7 东乌珠—东沟断面示意图（经郯庐断裂带）

分析表明，正是由于太平洋板块由斜向俯冲到正向俯冲再到斜向俯冲这一运动过程控制并影响我国东部一系列新生代盆地的形成，在时序上，伊通盆地构造沉降的产生、发展与变形各个阶段，与太平洋板块对中国东部大陆边缘俯冲作用及运动方式的变化过程具有一一对应的关系。早期（白垩纪）在西太平洋板块斜向（北北西）俯冲作用下，大黑山与那丹哈达岭刚性块体间发生相对运动，产生左行走滑断裂——西北边界断裂，该断裂主要起限制作用。